

I-18 鋼箱桁橋の中間ダイアフラムの簡易設計法

早稲田大学大学院

早稲田大学理工学部

早稲田大学理工学部

学生員 ○ 清水 啓之

正員 平嶋 政治

正員 依田 照彦

1. まえがき

直線箱桁橋における中間ダイアフラムの解析・設計にあたっては、近年、いくつかの提案がなされているが、曲線箱桁橋にまで言及しているものは少ない。

そこで、本報告では、薄肉円弧深におけるひずみ場の仮定に基づいて、基礎式を求め、鋼箱桁橋の中間ダイアフラム簡易設計法について考察を加えた。

2. 基礎式の説導

解析の対象は、曲率半径 R (一定) の薄肉長方形断面を有する曲線梁とし、断面形状ならびに座標系は、図1に示す通りである。

また、それぞれの方向余弦 ℓ, m を次式で定義する。

$$\ell = \cos(\chi, n), m = \cos(n, y) \quad (1 \cdot a, b)$$

梁の任意点 $P(n, S, \theta)$ の n 方向、 S 方向の変位成分を u, v とすると次式が得られる。

$$u = \ell u_s + m v_s - h_s \varphi + f_s \chi \quad (2 \cdot a, b)$$

$$v = -m u_s + \ell v_s + h_n \varphi + f_n \chi \quad (2 \cdot a, b)$$

$$\text{ただし } f_s = g_n - \alpha, f_n = g_s + 2n(m^2 - \ell^2) + n\dot{\alpha}$$

ここで、 φ, χ は、 $x-y$ 面内の断面回転角、断面変形角を表わし、 u_s, v_s は、断面中心点 S における x 方向、 y 方向の変位を表す。

さらに、 $\alpha, h_s, h_n, g_s, g_n$ は、次式で定義される。

$$\alpha = \begin{cases} \frac{J_b}{h A_0} (S^3 - h^2 S_1) & , \quad h_s = -x m + y \ell \\ \frac{J_b}{b A_0} (-S_2^3 + b^2 S_2) & , \quad g_s = x \ell - y m \end{cases}, \quad h_n = x \ell + y m, \quad g_n = x m + y \ell \quad (3 \cdot a \sim e)$$

次に、ひずみ場の仮定：

$$Y_{so} = 0 \quad \frac{\partial}{\partial S} (\rho^{*2} t f_{so}) = 0 \quad (4 \cdot a, b)$$

を設定すると、やや複雑な計算を経て、 x, y, χ, θ 方向の変位量 u, v, w とひずみ $Y_{so}, \epsilon_s, \epsilon_\theta$ が求まる。

$$u = u_s - y \varphi + y \chi - (l \alpha + m n \dot{\alpha} + 2m n) \chi, \quad v = v_s + x \varphi + x \chi - (m \alpha - l n \dot{\alpha} + 2l n) \chi$$

$$w = w_s - x \left(\frac{u_s'}{R} - \frac{v_s'}{R} \right) - y \frac{v_s'}{R} - \omega \left(\frac{\varphi'}{R} - \frac{v_s'}{R} \right) - \lambda \frac{x'}{R}$$

$$Y_{so} = \frac{R}{\rho} \left\{ \theta \left(\frac{\varphi'}{R} - \frac{v_s'}{R} \right) - \epsilon \frac{x'}{R} \right\}, \quad \epsilon_s = n \dot{\alpha} \chi$$

$$\epsilon_\theta = \frac{R}{\rho} \left\{ \left(\frac{u_s'}{R} + \frac{v_s'}{R} \right) - x \left(\frac{u_s''}{R^2} - \frac{v_s''}{R} \right) - y \left(\frac{v_s'}{R^2} + \frac{\varphi'}{R} \right) - \omega \left(\frac{\varphi''}{R^2} - \frac{v_s''}{R} \right) - \lambda \frac{x''}{R} \right\} \quad (6 \cdot a \sim c)$$

ここで、 $w, \lambda, \theta, \epsilon$ は次式で定義される。

$$\omega = \frac{\rho}{\rho^*} \Omega^* - \frac{R}{\rho^*} n h_s - \frac{R}{R} S_s^*, \quad \lambda = \frac{\rho}{\rho^*} \lambda^* + \frac{R}{\rho} n f_s - \frac{R}{R} \lambda_s^* \quad (7 \cdot a, b)$$

$$\text{ただし, } \Omega^* = R \rho^* \int_0^s \frac{1}{\rho^*} h_n ds - R \rho^* \int_0^s \frac{1}{\rho^*} f_n ds, \quad \lambda^* = R \rho^* \int_0^s \frac{1}{\rho^*} f_n^* ds$$

$$\epsilon = \frac{R}{\rho^*} \left(\frac{f_n f_n^*}{\rho} - \frac{n m f_s \rho^*}{\rho} - n \rho^* f_s' - n m f_s - \rho f_n^* \right), \quad \theta = \frac{R}{\rho} n \left(2 + \frac{n \ell}{\rho^*} \right) + \frac{R \rho^2}{\rho^*} \frac{\varphi''}{t} \quad (8 \cdot a, b)$$

$$\text{ただし, } \varphi'' = \frac{1}{R} \cdot \int \frac{1}{\rho^*} h_n ds / \int \frac{1}{\rho^*} t ds$$

梁に作用する外力として、単位体積外力 P 及び両端断面の単位面積外力 \bar{P} :

$$P = P_x i_x + P_y i_y + P_\theta i_\theta, \quad \bar{P} = \bar{P}_n i_n + \bar{P}_s i_s + \bar{P}_\theta i_\theta$$

を考えると、仮想仕事より、次式が求まる。

$$\int_{\theta_1}^{\theta_2} \int_F (\tau_\theta \delta \epsilon_\theta + \tau_{s\theta} \delta r_{s\theta} + \tau_s \delta \epsilon_s) P dF d\theta - \int_{\theta_1}^{\theta_2} \int_F (P_x \delta u + P_y \delta v + P_\theta \delta w) P dF d\theta \\ - [n_o \int_F (\bar{P}_h \delta \xi + \bar{P}_s \delta \eta + \bar{P}_\theta \delta w) dF]_{\theta_1}^{\theta_2} = 0 \quad (9)$$

ただし

$$n_o = \begin{cases} -1 & : \theta = \theta_1 \\ 1 & : \theta = \theta_2 \end{cases}$$

式(9)より、変位に関する5つのつりあい方程式が求められ、断面変形角についてまとめるとき、次式が得られる。

$$-ED_2 \frac{d^4 X}{R^2 d\theta^4} + (m_\lambda - m_\epsilon) + \frac{E J_{stw}}{G J_{st}} \frac{d^2 M_z}{R^2 d\theta^2} = 0 \quad (10)$$

ただし

$$D_2 = \int_F \frac{P}{R} \lambda^2 dF, \quad J_{stw} = \int_F \frac{P}{R} \lambda w dF, \quad J_{st} = \int_F \frac{P}{R} \theta^2 dF \\ m_\lambda = \int_F \frac{P}{R} (P_x x + P_y y) dF, \quad m_\epsilon = \int_F \frac{P}{R} \{ P_z (\lambda \alpha + m n \dot{\alpha} + 2 m n) + P_y (m \alpha - l n \dot{\alpha} + 2 l n) \} dF \\ M_z = \int_F P_z y dF \quad \dots (11-a \sim f)$$

一般に、 $P \approx R$ におけるから、式(10)の D_2 は、Beam Analogy における J_{stw} に等しい。³⁾ さらに、オ三項の $\frac{d^2 M_z}{R^2 d\theta^2}$ は、通常の土木構造物の曲率半径を考えると、オ2項に比べ、無視できることは少いものである。従来の研究においては、曲線薄肉梁の断面変形の基礎式を、Dabrowski⁴⁾ の式に依っていたが、この曲げモーメントを含む項を取り扱いが、けいさりとしていなかった。しかし、今回求められた式(10)では、この項を無視できることから、曲線梁においても、直線梁と同様に、Beam Analogy が適用できることことが、明らかとなつた。

3. 簡易設計法の提案

中間ダイアフラム設計法として、図3. のようなフローチャートを

考えた。まず 図4, 図5より

明らかのように、 $\gamma \geq 20$ において M_{max}/P_L , $M_{max}/g L_b^2$

が、ほぼ一定値 α_c, α_u を示すことから、許容応力度 τ_{wa} 内の最大ダイアフラム間隔 L_d を求める。この値を基に、ダイアフラム間隔 L_d を仮定すれば、 $\gamma = \frac{K L_d^3}{EI} \geq 20$ の条件を満足するような K を求めることができ、ダイアフラム板厚を決定することができる。

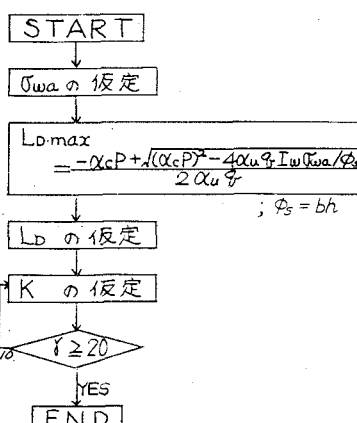


図 3. フロー チャート

4. あとがき

本報告では Beam Analogy の有効性を、曲線梁についても明らかにし、さらに、この Beam Analogy に基づく中間ダイアフラムの簡易設計法について、一提案を行なつた。今後は、断面変形角を考慮した設計法について、研究を進めていきたい。

参考文献

- 1) 西野文雄・長川彰文・名取悦朗：断面変形とせん断変形を考慮した長方形薄肉断面ばかりの理説論、土木学会論文報告集、第248号、1976年4月。
- 2) 西野文雄・深澤泰晴・ひずみ場の仮定に基づく薄肉曲がりばりの静的挙動の定式化、土木学会論文報告集、第247号、1976年3月。
- 3) 坂井謙一・長井正嗣：鋼箱桁橋の中間ダイアフラム設計法に関する一試案、土木学会論文報告集、第261号、1977年5月。
- 4) Dabrowski, R: Gekrümmte dünnwandige Träger, Springer-Verlag, 1968年

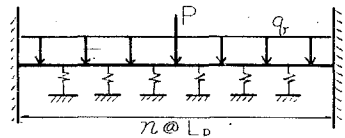


図 2. Beam Analogy

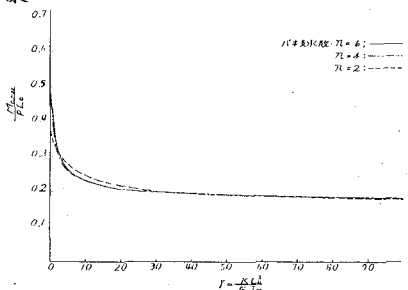


図 4. γ - $\frac{M_{max}}{P_L}$ の収束性(集中荷重)

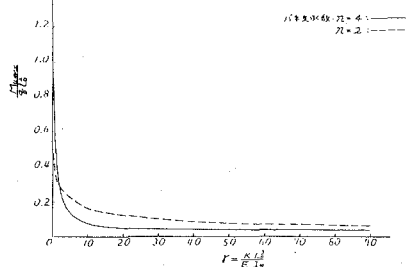


図 5. γ - $\frac{M_{max}}{g L_b^2}$ の収束性(分布荷重)